

ЛЕКЦИЯ №13.

Кодирование стационарных источников.

Энтропия последовательности символов от стационарного источника определяется следующим образом:

$$H(X_1, \dots, X_J) = \sum_{i=1}^J H(X_i / X_1, \dots, X_{i-1}), \quad (4.16)$$

где X_1, \dots, X_J - блок случайных переменных, $H(X_i / X_1, \dots, X_{i-1})$ - энтропия i -го символа при условии, что источник выдал предыдущие $i-1$ символов. Энтропия на символ для такого J символьного блока:

$$H_J(X) = \frac{1}{J} H(X_1, \dots, X_J) \quad (4.17)$$

Количество информации стационарного источника – энтропия на символ (4.17) при $J \rightarrow \infty$.

Пусть источник выдает J символьный блок с энтропией $H_J(X)$. Тогда можно кодировать этот блок кодом Хаффмена, который удовлетворяет префиксному условию. Полученный код имеет среднее число бит на J символов, удовлетворяющее условию:

$$H(X_1, \dots, X_J) \leq \bar{K}_J < H(X_1, \dots, X_J) + 1.$$

Разделим это неравенство на J , получим:

$$H_J(X) \leq \bar{K} < H_J(X) + \frac{1}{J}, \quad (4.18)$$

где $\bar{K} = \frac{\bar{K}_J}{J}$ - среднее число бит на один символ источника. Увеличивая длину блока J можно приблизить \bar{K} к $H_J(X)$, т.е. $\bar{K} \rightarrow H_J(X)$ при $J \rightarrow \infty$.

Вывод. Эффективное кодирование стационарных источников может быть реализовано путем кодирования длинных блоков источника алгоритмом Хаффмена.

Недостаток: надо знать совместные функции плотности распределения вероятности для J символьных блоков.

4.2. Непрерывный источник (НИ).

Непрерывный (аналоговый) источник выдает непрерывный сигнал $x(t)$, который является некоторой реализацией случайного процесса $\zeta(t)$.

4.2.1. Теорема отсчетов для детерминированных функций.

Если спектр функции $x(t)$ заключен в интервале частот $-F_g < f < F_g$, то она может быть представлена в виде:

$$x(t) = \sum_{k=-\infty}^{\infty} x\left(\frac{k}{2F_g}\right) \frac{\sin(\pi(2F_g t - k))}{\pi(2F_g t - k)} \quad (4.19)$$

Здесь $x\left(\frac{k}{2F_g}\right) = x_k$ - отсчеты функции $x(t)$, взятые через интервал времени $\Delta t = \frac{1}{2F_g}$, F_g - верхняя частота спектра.

Обобщение теоремы отсчетов.

Теорема отсчетов применима

- 1) если отсчеты взяты через интервал времени $\Delta t \leq \frac{1}{2F_g}$, т.е. частота дискретизации $f_d \geq 2F_g$,
- 2) к непрерывным случайным стационарным процессам с ограниченной по частоте спектральной плотностью мощности (СПМ) $G_x(\omega)$.

4.2.2. Ошибки в теории дискретизации и восстановлении непрерывных функций.

1. Ошибка за счет округления.

При цифровой записи сигнала вместо отсчетов x_k запоминаются их приближенные значения \tilde{x}_k . Тогда появляется ошибка, которая называется ошибкой квантования $\xi_k = \tilde{x}_k - x_k$. В этом случае восстановленный сигнал имеет вид (см. (4.19)):

$$\hat{x}_1(t) = \sum_{k=-\infty}^{\infty} \tilde{x}_k \frac{\sin(\pi(2F_g t - k))}{\pi(2F_g t - k)},$$

а ошибка восстановления определяется как

$$e_1(t) = \hat{x}_1(t) - x(t) = \sum_{k=-\infty}^{\infty} \xi_k \frac{\sin(\pi(2F_g t - k))}{\pi(2F_g t - k)}.$$

Найдем энергию ошибки $e_1(t)$.

$$W_1 = \int_{-\infty}^{\infty} e_1^2(t) dt = \int_{-\infty}^{\infty} \left(\sum_{k=-\infty}^{\infty} \xi_k \frac{\sin(\pi(2F_g t - k))}{\pi(2F_g t - k)} \right)^2 dt = \sum_{k=-\infty}^{\infty} \xi_k^2 \int_{-\infty}^{\infty} \frac{\sin^2(\pi(2F_g t - k))}{(\pi(2F_g t - k))^2} dt,$$

т.к. случайные величины ξ_k независимые. Введем замену переменной

$$\pi(2F_g t - k) = z, \text{ тогда } dz = 2\pi F_g dt. \text{ Далее } \int_{-\infty}^{\infty} \frac{\sin^2(\pi(2F_g t - k))}{(\pi(2F_g t - k))^2} dt = \frac{1}{2\pi F_g} \int_{-\infty}^{\infty} \frac{\sin^2(z)}{z^2} dz = \frac{1}{2F_g}.$$

Подставляя значение вычисленного интеграла в выражения для энергии ошибки, получим

$$W_1 = \frac{1}{2F_g} \sum_{k=-\infty}^{\infty} \xi_k^2.$$

Мощность (дисперсия) ошибки восстановления равна $\sigma_1^2 = 2F_g W_1$.

Тогда приближенную оценку ошибки восстановления можно записать следующим образом:

$$|e_1| \leq \sqrt{\sigma_1^2} = \sqrt{\sum_{k=-\infty}^{\infty} \xi_k^2} \quad (4.20)$$

2. Ошибка за счет отбрасывания членов ряда.

При вычислении значений $x(t)$ реально используется усеченный ряд Котельникова:

$$\hat{x}_2(t) = \sum_{k=-N}^N x_k \frac{\sin(\pi(2F_g t - k))}{\pi(2F_g t - k)}.$$

При этом возникает ошибка $e_2(t) = \hat{x}_2(t) - x(t) = - \sum_{k < -N}^{k > N} x_k \frac{\sin(\pi(2F_g t - k))}{\pi(2F_g t - k)}.$

Справедлива оценка

$$|e_2(t)| \leq \left| \frac{\sin(2\pi F_g t)}{2\pi F_g} \right| \sum_{|k| > N} \left| \frac{x_k}{t - \frac{k}{2F_g}} \right| \quad (4.21)$$

3. Ошибка, вызванная усечением спектра сигнала.

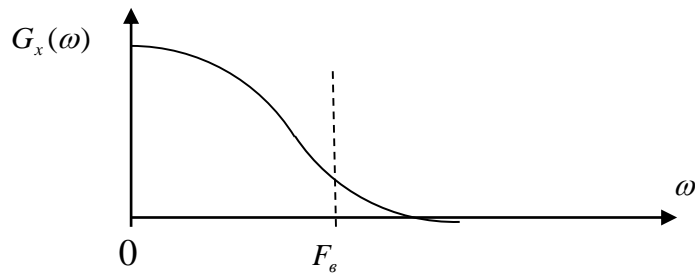
Если спектр $S(j\omega)$ или $G_x(\omega)$ сигнала занимает полосу частот $[-F_0; F_0]$, шаг дискретизации $\Delta t = \frac{1}{2F_g}$, где $F_g < F_0$, то возникает ошибка усечения спектр $e_3(t)$

В этом случае справедлива оценка:

$$|e_3(t)| \leq \frac{2}{\pi} (F_0 - F_g) \max_{2\pi F_g \leq \omega \leq 2\pi F_0} |S(j\omega)| \quad (4.22)$$

или при $F_0 \rightarrow \infty$ дисперсия ошибки определяется как

$$\sigma_3^2 = \frac{1}{\pi} \int_{2\pi F_g}^{\infty} G_x(\omega) d\omega \quad (4.23)$$



4. Ошибка стробирования.

На практике выборки значений $x(t)$ берутся не точно в моменты времени $t_k = \frac{k}{2F_с}$, в моменты $t_k = \frac{k}{2F_с} + \mu_k$, где μ_k - ошибка стробирования. Тогда восстановленный сигнал имеет вид:

$$\hat{x}_4(t) = \sum_{k=-\infty}^{\infty} x\left(\frac{k}{2F_с} + \mu_k\right) \frac{\sin(\pi(2F_с t - k))}{\pi(2F_с t - k)}.$$

Так как ошибка μ_k мала, то функцию $x(\bullet)$ можно разложить в ряд Тейлора и ограничиться первым приближением:

$$x\left(\frac{k}{2F_с} + \mu_k\right) = x\left(\frac{k}{2F_с}\right) + x'\left(\frac{k}{2F_с}\right)\mu_k,$$

где $x'\left(\frac{k}{2F_с}\right)$ - первая производная функции $x(\bullet)$ в точке $\frac{k}{2F_с}$. Обозначим $\delta_k = x'\left(\frac{k}{2F_с}\right)\mu_k$. Тогда ошибка восстановления определяется следующим образом:

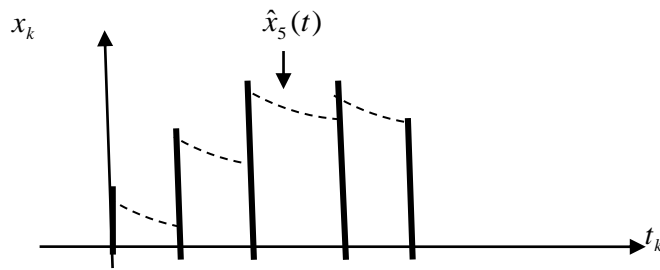
$$e_4(t) = \hat{x}_4(t) - x(t) = \sum_{k=-\infty}^{\infty} \delta_k \frac{\sin(\pi(2F_с t - k))}{\pi(2F_с t - k)}$$

и справедлива оценка

$$|e_4| \leq \sqrt{\sum_{k=-\infty}^{\infty} \delta_k^2} \quad (4.24)$$

5. Ошибка, вызвана не идеальностью характеристик восстанавливающего фильтра нижних частот.

Если вместо ИФНЧ взять RC фильтр, у которого импульсная характеристика имеет вид $h(t) = \frac{1}{RC} e^{-\frac{t}{RC}}$, то получим следующую картину:



Чем выше частота дискретизации и чем ближе характеристики фильтра к характеристикам ИФНЧ, тем меньше ошибка восстановления.

4.2.3. Кодирование непрерывного источника.

Формирование ИКМ сигнала.

ИКМ сигнал – сигнал импульсно-кодовой модуляции.

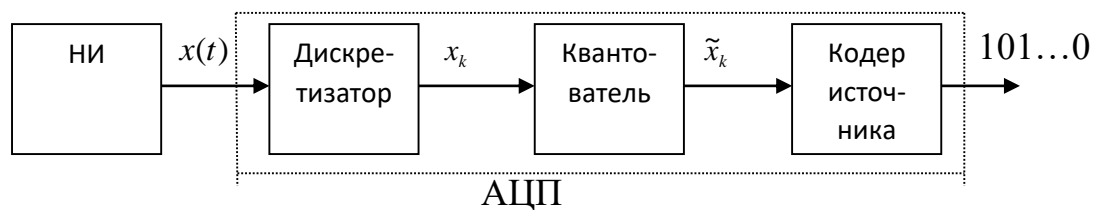


Рисунок 4.7. Структурная схема устройства формирования ИКМ - сигнала. $k = 0, 1, 2, \dots$ - дискретное время.

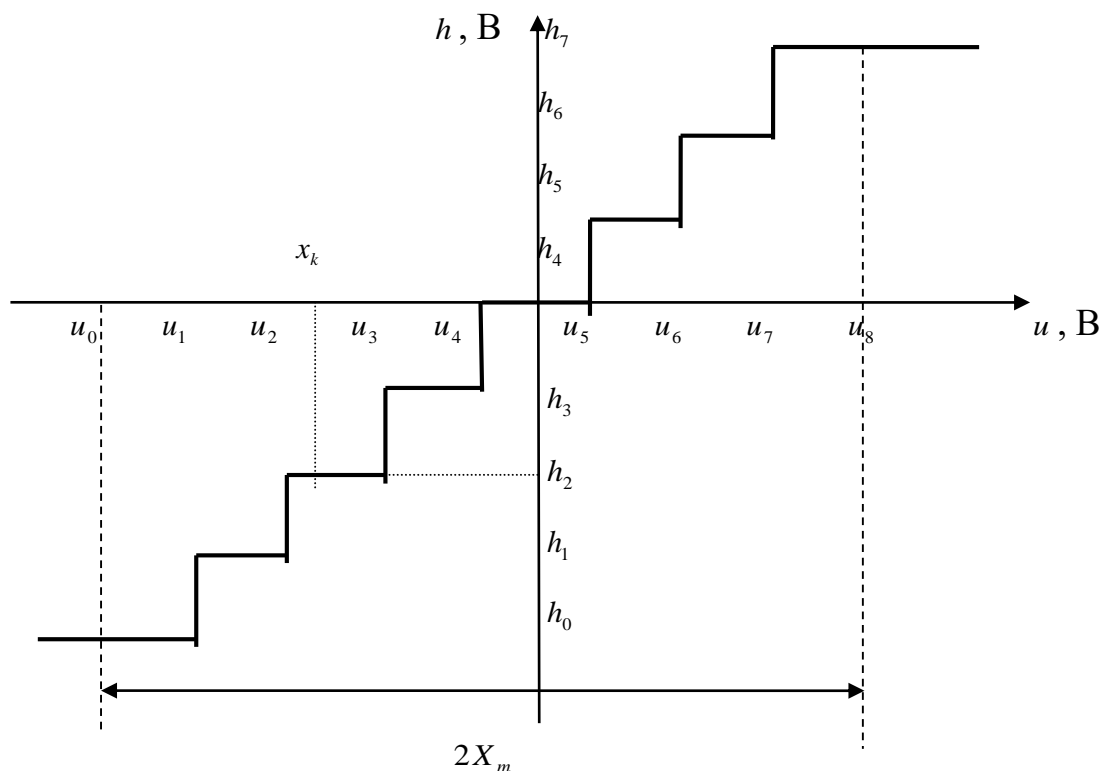


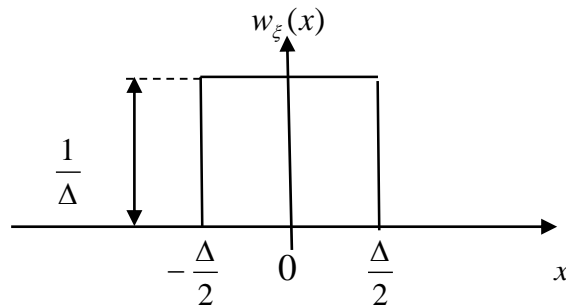
Рисунок 4.8. Характеристика типового равномерного квантователя.

h_l - уровни квантования $l=0,1,\dots,7$, u_l - пороги. Разность между соседними уровнями называется шагом квантования $\Delta = h_l - h_{l-1}$. Для равномерного квантователя $\Delta = \text{const}$. Здесь рассмотрен квантователь с 8 уровнями.

X_m - полномасштабный уровень АЦП, его значение, как правило, колеблется от 1 до 10 В. Значение квантованного отсчета (сигнала на выходе квантователя) равно ближайшему уровню квантования, т.е., если $u_l < x_k \leq u_{l+1}$, то $\tilde{x}_k = h_l$. Пример: пусть $u_2 < x_k \leq u_3$, тогда $\tilde{x}_k = h_2$. (См. характеристику квантователя). Шаг квантователя зависит от полномасштабного уровня АЦП и количества уровней квантования:

$$\Delta = \frac{2X_m}{N} \quad (4.25)$$

Ошибка (шум) квантования ξ_k при малых Δ является стационарным случайным процессом с равномерной плотностью распределения вероятности на интервале $[-\frac{\Delta}{2}; \frac{\Delta}{2}]$.



Дисперсия шума квантования равна

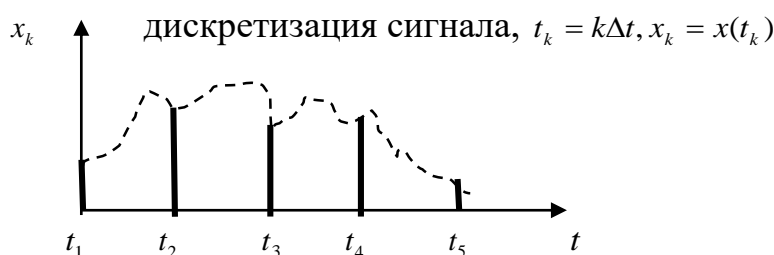
$$\sigma_{\xi}^2 = \int_{-\frac{\Delta}{2}}^{\frac{\Delta}{2}} x^2 w_{\xi}(x) dx = \frac{\Delta^2}{12} \quad (4.26)$$

Если имеется N уровней квантования, то каждый квантованный отсчет кодируется

$$K = \log_2 N \text{ (бит/отсчет), если } N = 2^b, \quad (4.27 \text{ а})$$

$$K = \lfloor \log_2 N \rfloor + 1 \text{ (бит/отсчет), если } N \neq 2^b. \quad (4.27 \text{ б})$$

Здесь $\lfloor \bullet \rfloor$ - выделение целой части из значения $\log_2 N$. Замечание: кодируется либо само значение квантованного отсчета, либо номер уровня квантования, которому равен квантованный отсчет.



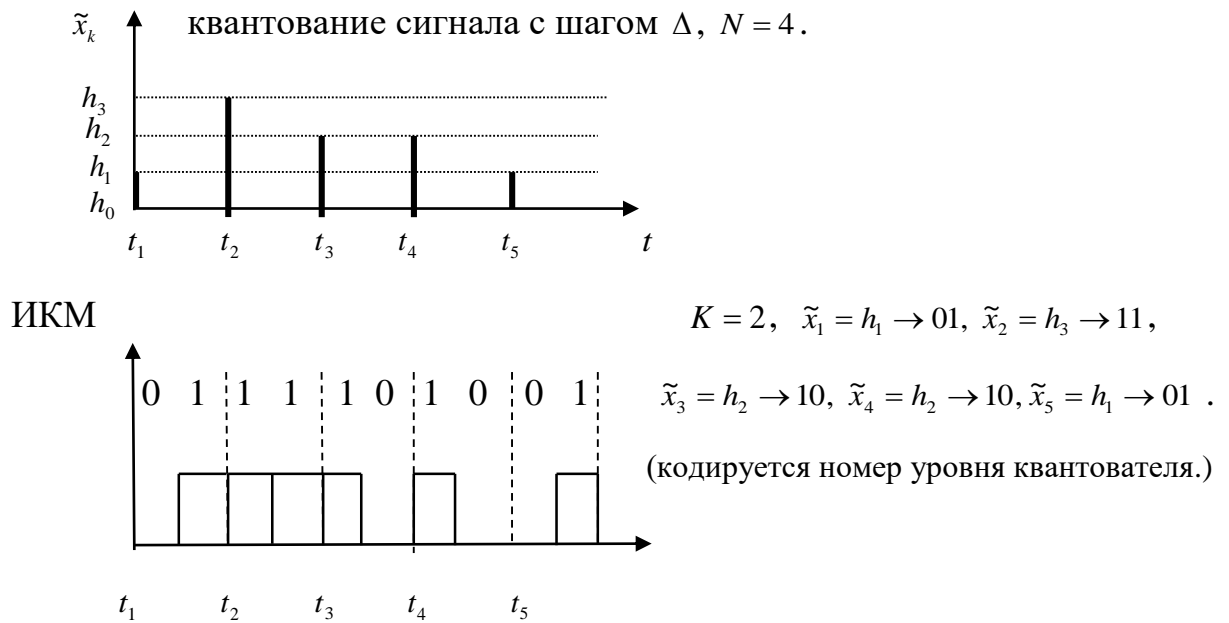


Рисунок 4.9. Этапы формирования ИКМ – сигнала.

Недостатки ИКМ.

1) Ширина спектра ИКМ сигнала $F_{ИКМ}$ больше ширины спектра F_{ϵ} исходного аналогового сигнала. За время $\Delta t = \frac{1}{2F_{\epsilon}}$ нужно передать комбинацию из K бит.

Тогда длительность одного бита $T_{\sigma} = \frac{\Delta t}{K} = \frac{1}{K2F_{\epsilon}}$. Ширина спектра ИКМ

$F_{ИКМ} \approx \frac{1}{T_{\sigma}} = 2KF_{\epsilon}$. Обычно $K = 6 \dots 9$, тогда $F_{ИКМ}$ в 12-18 раз больше ширины спектра исходного сигнала.

2) При процедуре квантования в представление сигнала вносится ошибка:

$$x_k = \tilde{x}_k + \xi_k.$$

Дифференциальная ИКМ (ДИКМ).

В ИКМ каждый отсчет кодируется независимо от других. Но у многих источников сигнала при дискретизации через $\Delta t = \frac{1}{2F_{\epsilon}}$ или чаще проявляется

значительная корреляция между отсчетами. В ДИКМ кодируется разность между отсчетами сигнала, а не сами отсчеты. Т.к. разность между отсчетами сигнала меньше, чем значения отсчетов, то нужно меньшее число бит для представления разностного сигнала. Суть подхода состоит в следующем.

Предсказывается текущее значение отсчет на основе предыдущих p отсчетов:

$$\hat{x}_k = \sum_{i=1}^p a_i x_{k-i} \quad (4.28)$$

Здесь \hat{x}_k - предсказанное значение для текущего отсчета x_k , $k=1,2,\dots$ - дискретное время, a_i - коэффициенты предсказания, которые находятся по критерию минимума средней квадратической ошибки (СКО):

$$\{a_i, i=1,2,\dots,p\} = \arg \min(M\{e_k^2\}), \quad (4.29)$$

где $M\{e_k^2\} = M\{x_k - \sum_{i=1}^p a_i x_{k-i}\}^2 = M\{x_k\}^2 - 2\sum_{i=1}^p a_i M\{x_k x_{k-i}\} + \sum_{i=1}^p \sum_{j=1}^p a_i a_j M\{x_{k-i} x_{k-j}\}$, $M\{\bullet\}$ - оператор математического ожидания, e_k - ошибка предсказания, $M\{e_k\}^2$ - дисперсия ошибки предсказания.

Пусть выход источника - стационарный случайный процесс с корреляционной функцией $R_x(\Delta)$, где $\Delta = k - n$ - разность между двумя дискретными моментами времени. Тогда

$$M\{e_k\}^2 = R_x(0) - 2\sum_{i=1}^p a_i R_x(i) + \sum_{i=1}^p \sum_{j=1}^p a_i a_j R_x(i-j).$$

Если корреляционная функция $R_x(\Delta)$ неизвестна, то ее можно оценить по отсчетам сигнала:

$$\hat{R}_x(\Delta) = \frac{1}{N} \sum_{k=1}^{N-\Delta} x_k x_{k-\Delta}. \quad (4.30)$$

Далее минимизируя дисперсию ошибки предсказания (см. критерий (4.29)), по коэффициентам a_i , $i=1,2,\dots,p$, получим систему линейных уравнений:

$$\sum_{i=1}^p a_i R_x(i-j) = R_x(j), \quad j=1,2,\dots,p \quad (4.31)$$

Уравнения (4.31) для коэффициентов предсказания называют **нормальными уравнениями** или **уравнениями Юли-Волкера**. Алгоритм их эффективного решения разработан Левинсоном (1974 г.) и Дурбиным (1959 г.).

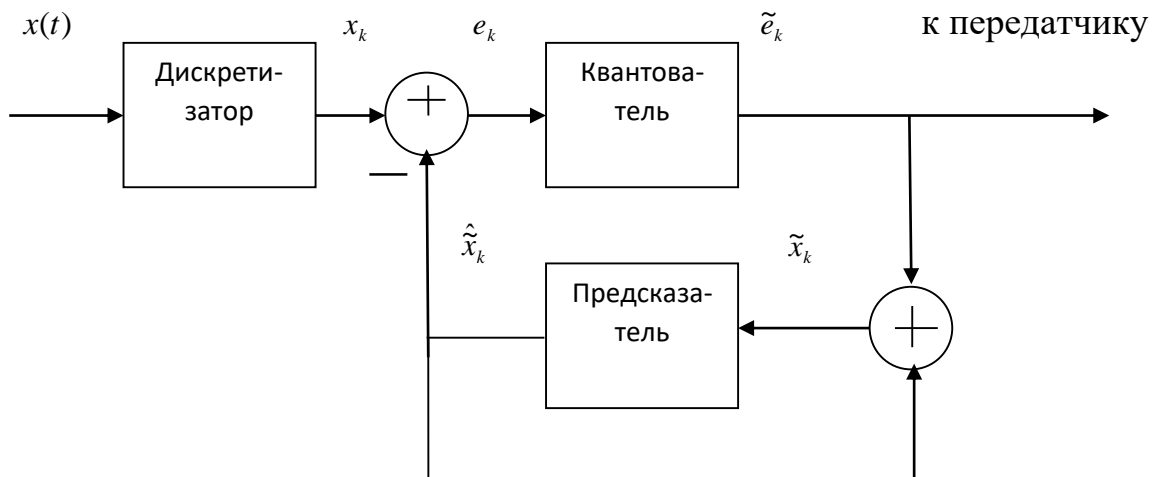


Рисунок 4.10. Блок-схема кодера ДИКМ.

$$e_k = x_k - \hat{\tilde{x}}_k = x_k - \sum_{i=1}^p a_i \tilde{x}_{k-i}, \quad \tilde{e}_k - e_k = \tilde{e}_k - (x_k - \hat{\tilde{x}}_k) = \tilde{e}_k + \hat{\tilde{x}}_k - x_k = \tilde{x}_k - x_k = \xi_k,$$

где $\tilde{x}_k = \hat{\tilde{x}}_k + \tilde{e}_k$, ξ_k - ошибка квантования.

Описание схемы. Квантованный отсчет \tilde{x}_k является входом предсказателя, выход предсказателя – предсказанный на следующий шаг квантованный отсчет $\hat{\tilde{x}}_k = \sum_{i=1}^p a_i \tilde{x}_{k-i}$. Разность $e_k = x_k - \hat{\tilde{x}}_k$ - вход квантователя, \tilde{e}_k - выход квантователя. Величина квантованной ошибки \tilde{e}_k кодируется последовательностью двоичных символов и передается через канал связи.

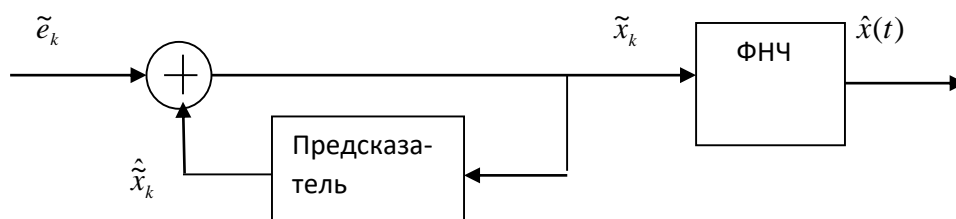


Рисунок 4.11. Блок-схема декодера ДИКМ.

Квантованный отсчет представляет собой сумму квантованной ошибки и предсказанного квантованного отсчета: $\tilde{x}_k = \hat{\tilde{x}}_k + \tilde{e}_k$. Далее по полученным \tilde{x}_k восстанавливается сигнал $x(t) \approx \hat{x}(t)$.

Дельта-модуляция (ДМ).

ДМ можно рассматривать как простейшую форму ДИКМ, в котором используется двухуровневый (1-битовый) квантователь и фиксированный предсказатель первого порядка ($p = 1, a_1 = 1$):

$$\begin{aligned} \hat{\tilde{x}}_k &= \tilde{x}_{k-1}, \\ \tilde{x}_{k-1} &= \hat{\tilde{x}}_{k-1} + \tilde{e}_{k-1} \end{aligned} \tag{4.32}$$

Так как $\xi_{k-1} = \tilde{e}_{k-1} - e_{k-1} = \tilde{e}_{k-1} - (x_{k-1} - \hat{\tilde{x}}_{k-1}) = \tilde{e}_{k-1} + \hat{\tilde{x}}_{k-1} - x_{k-1} = \tilde{x}_{k-1} - x_{k-1} = \hat{\tilde{x}}_k - x_{k-1}$, то $\hat{\tilde{x}}_k = x_{k-1} + \xi_{k-1}$. Т.о. предсказанное значение $\hat{\tilde{x}}_k$ является суммой предыдущего отсчета и шума квантования.

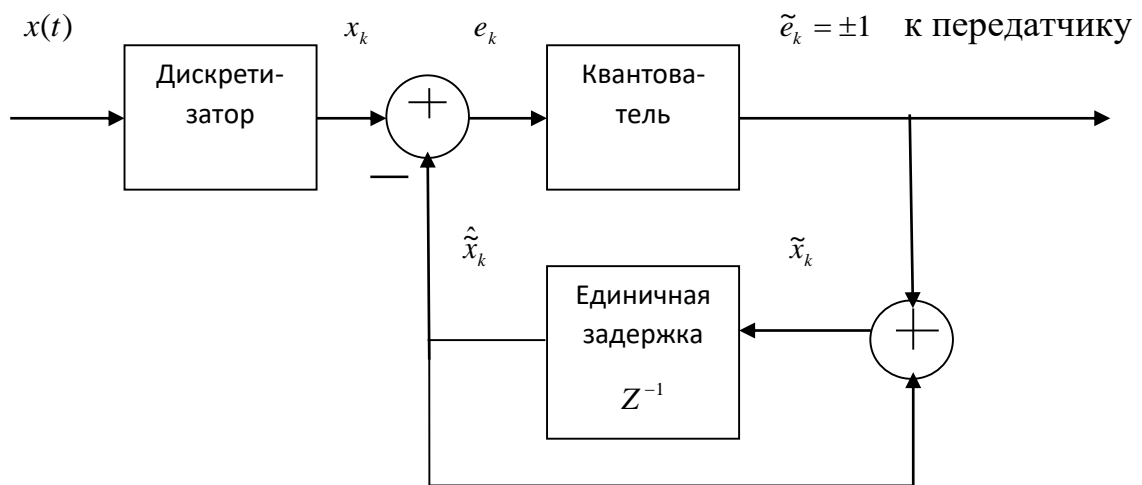


Рисунок 4.12. Блок-схема кодера ДМ.

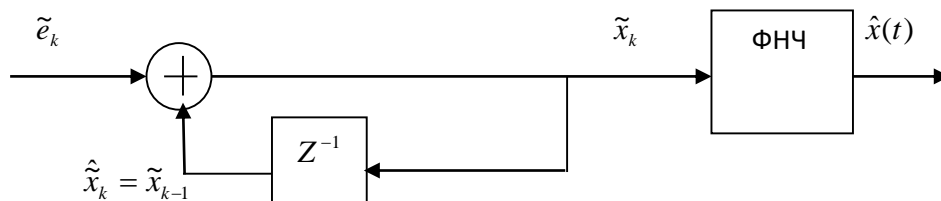


Рисунок 4.13. Блок-схема декодера ДМ.

Адаптивные ИКМ и ДИКМ.

Многие реальные источники квазистационарны, т.е. $\sigma_x^2 = f(t)$, $R_x(t_i, t_j)$ – медленно меняющиеся функции времени. Поэтому необходимо адаптировать характеристики кодеров к меняющейся со временем статистике источника. Можно использовать равномерный квантователь, который меняет величину шага квантования в соответствии с дисперсией последних отсчетов. Т.е. измеряется дисперсия процесса $\hat{\sigma}_x^2$ по x_{k-1} , а далее устанавливается размер шага. Самый простой алгоритм для установки шага использует только предыдущий отсчет сигнала. Предложен Джайантом в 1974 году при кодировании речи: $\Delta_{k+1} = \Delta_k M(k)$, $M(k)$ – множитель, зависящий от уровня квантованного отсчета \tilde{x}_k , Δ_{k+1} – шаг квантования в $k+1$ -й момент времени.

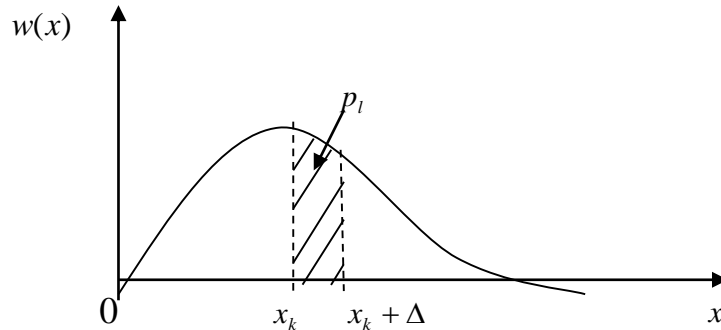
Предсказатель в ДИКМ тоже можно сделать адаптивным. В этом случае уравнения (4.31) справедливы для краткосрочной оценки $\hat{R}_x(i)$, подставленной вместо $R_x(i)$. Далее вычисленные коэффициенты $a_i, i=1,2,\dots,p$ вместе с ошибкой \tilde{e}_k передаются приемнику, который использует такой же предсказатель. Передача коэффициентов $a_i, i=1,2,\dots,p$ приводит к увеличению необходимой битовой скорости, что частично компенсирует снижение скорости, достигнутое с помощью квантователя с малым количеством уровней для уменьшения динамического диапазона ошибки e_k . Чтобы этого избежать, приемник может вычислить собственные коэффициенты предсказания через

\tilde{e}_k, \tilde{x}_k : $\tilde{x}_k = \tilde{e}_k + \sum_{i=1}^p a_i \tilde{x}_{k-i}$. Если пренебречь шумом квантования ξ_k , то $\tilde{x}_k \cong x_k$ и их можно использовать для оценки корреляционной функции $\hat{R}_x(i)$ в приемнике и далее по (4.31) найти коэффициенты предсказания.

4.2.4. Мера информации непрерывного источника.

Н.И в последовательные моменты времени $t_k, k=1,2,\dots,n$ вырабатывает сообщения x_k . Случайный вектор (x_1, \dots, x_n) характеризуется многомерной функцией плотности распределения вероятности $w_n(x_1, \dots, x_n, t_1, \dots, t_n)$. Если величины x_k независимы и процесс на выходе Н.И стационарный, то источник описывается одномерной ФПВ $w(x)$. Марковский Н.И характеризуется следующей ФПВ: $w(x_k, x_{k-1}) = w(x_{k-1})w(x_k / x_{k-1})$. Формулы для энтропии непрерывного источника получаются путем обобщения формул для энтропии Д.И.

Пусть Н.И вырабатывает сообщение $x(t)$. Переходя от непрерывно процесса к дискретному путем процедур дискретизации и квантования, получим: $\tilde{x}_k = l\Delta$, где $l = 0, \pm 1, \pm 2, \dots$, Δ - шаг квантования, \tilde{x}_k - квантованный отсчет, появляющийся с вероятностью $p_l = P\{\tilde{x}_k = l\Delta\}$. Предположим, что источник описывается одномерной ФПВ. Тогда $p_l \cong w(\tilde{x}_k)\Delta$.



Тогда на основе формулы для энтропии ДИ получим:

$$H(x, \Delta) = -\sum_l p_l \log_2(p_l) = -\sum_l p_l \log_2(w(\tilde{x}_k)\Delta) = -\sum_l p_l \log_2(w(\tilde{x}_k)) - \sum_l p_l \log_2(\Delta) = -\sum_l w(\tilde{x}_k) \log_2(w(\tilde{x}_k))\Delta - \log_2(\Delta), \text{ т.к. } \sum_l p_l = 1. \text{ Переходя к пределу при } \Delta \rightarrow 0, \text{ получим}$$

$$H(x) = -\int_{-\infty}^{\infty} w(x) \log_2(x) dx - \lim_{\Delta \rightarrow 0} \log_2(\Delta).$$

Первое слагаемое — **дифференциальная энтропия**, второе — величина бесконечно большая (конечна она только при конечном интервале квантования Δ), она часто исключается из рассмотрения, т.к. при передаче сообщения по каналу связи важна дифференциальная энтропия

$$H_d(x) = - \int_{-\infty}^{\infty} w(x) \log_2(x) dx \quad (4.33)$$

Пределы интегрирования определяются диапазоном изменения сообщения $x(t)$.

Свойства дифференциальной энтропии.

1) $-\infty < H_d(x) < \infty$.

2) $H_d(x) = H_{d \max}$, если ФПВ источника гауссовская: $w(x) = \frac{1}{\sqrt{2\pi}\sigma_x} e^{-\frac{(x-m_x)^2}{2\sigma_x^2}}$, т.е. если $x(t)$ - гауссовский стационарный случайный процесс.

$$H_{d \max} = \frac{1}{2} \log_2(2\pi e \sigma_x^2) \quad (4.34)$$

3) Дифференциальная энтропия совместного наступления событий x_1, \dots, x_n определяется по формуле

$$H_d(x_1, \dots, x_n) = \sum_{k=1}^n H_d(x_k)$$

4) Если сообщения x_k, x_{k-1} зависимы, то вводится условная энтропия

$$H(x_k / x_{k-1}) = - \int_{-\infty}^{\infty} \int_{-\infty}^{\infty} w(x_k, x_{k-1}) \log_2(w(x_k / x_{k-1})) dx_k dx_{k-1}. \quad (4.35)$$

Тогда совместная дифференциальная энтропия определяется по формуле

$$H_d(x_k, x_{k-1}) = H_d(x_{k-1}) + H(x_k / x_{k-1}) \quad (4.36)$$

Функция скорость-искажение или энтальпия энтропия НИ.

Под искажением понимается некоторая мера разности между отсчетами x_k источника и квантованными отсчетами \tilde{x}_k , $k=1,2,\dots$ - дискретное время. За меру возьмем

$$\xi_k^2 = (x_k - \tilde{x}_k)^2 \quad (4.37)$$

Пусть $\vec{x} = (x_1, \dots, x_n)$, $\vec{\tilde{x}} = (\tilde{x}_1, \dots, \tilde{x}_n)$. Тогда искажение между данными векторами – среднее искажение по n отсчетам:

$$\xi_{n,cp}^2 = \frac{1}{n} \sum_{k=1}^n \xi_k^2 \quad (4.38)$$

(4.38) является случайной величиной с математическим ожиданием $D = M\{\xi_{n,cp}^2\} = M\{\xi_k^2\} = \sigma_\xi^2$, т.к. процесс на выходе источника стационарный.

Рассмотрим непрерывный источник без памяти, который имеет ФПМ отсчета $w(x)$ и меру искажения на отсчет (4.37), где $x \in \vec{x}, \tilde{x} \in \vec{\tilde{x}}$.

Минимальная скорость в битах на отсчет, требуемая для представления выхода источника без памяти с искажением $\leq D$, называется **функцией скорость-искажение** и определяется как

$$R(D) = \min_{w(x/\tilde{x}): \sigma_{\tilde{x}}^2 \leq D} I(x, \tilde{x}), \quad (4.39)$$

где $I(x, \tilde{x})$ - средняя взаимная информация между x и \tilde{x} , которая определяется по формуле

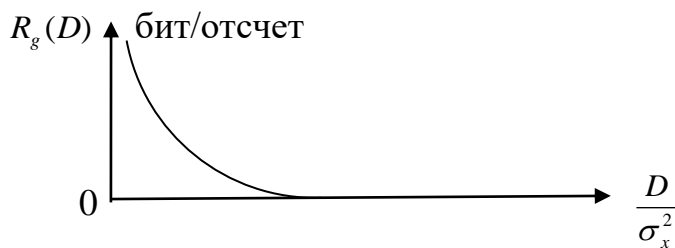
$$I(x, \tilde{x}) = \int_{-\infty}^{\infty} \int_{-\infty}^{\infty} w(x, \tilde{x}) \log_2 \left(\frac{w(x, \tilde{x})}{w(x)w(\tilde{x})} \right) dx d\tilde{x} \quad (4.40)$$

Так же (4.39) еще называют **эпсилон - энтропией** источника. При увеличении искажения D $R(D)$ уменьшается.

Для гауссовского Н.И. без памяти Шеннон в 1959 году доказал теорему:

Минимальная скорость кодирования, необходимая для представления выхода дискретного во времени и непрерывного по амплитуде гауссовского источника без памяти равна

$$R_g(D) = \begin{cases} \frac{1}{2} \log_2 \left(\frac{\sigma_x^2}{D} \right), & 0 \leq D \leq \sigma_x^2, \\ 0, & D > \sigma_x^2 \end{cases} \quad (4.41)$$



Теорема Шеннона кодирования источника с заданной мерой искажения.

Существует схема кодирования, которая отображает выход источника в кодовые слова так, что для любого данного искажения D минимальная скорость $R(D)$ (бит/отсчет) источника является достаточной для восстановления исходного сигнала со средним искажением, которое является произвольно близким к D .

Функция $R(D)$ для любого Н.И. – нижняя граница скорости источника, которая является возможной для данного уровня искажения.

Верхняя граница для $R(D)$. Функция скорость – искажение Н.И. без памяти с нулевым средним и конечной дисперсией σ_x^2 при использовании средней квадратичной меры искажений (4.38) ограничена сверху:

$$R(D) \leq R_g(D) \quad (4.42)$$

Доказательство этой теоремы дано Бергером в 1971 году. Таким образом, гауссовский источник требует максимальной скорости кодирования среди всех других источников при заданном уровне среднеквадратической ошибки.

Нижняя граница для $R(D)$:

$$R^*(D) = H_d(x) - \frac{1}{2} \log_2(2\pi e D) \quad (4.43)$$

Таким образом функция скорость – искажения лежит в пределах

$$R^*(D) \leq R(D) \leq R_g(D) .$$

Эпсилон- избыточность НИ находится по формуле

$$r_\varepsilon = 1 - \frac{R^*(D)}{R_g(D)}$$